

### **3. Вейвлет – анализ**

#### **1. Вейвлеты**

**Слово «вейвлет» (wavelet – маленькая волна или рябь) введено А.Гроссманом и Ж.Морле в 1982 году в работе, посвященной проблеме анализа сейсмических сигналов, в которых требуется выделить и время (положение) всплеска в сигнале и его спектральный состав (масштаб).**

**К началу 90 – х годов вейвлет – анализ нашел широкое применение в задачах анализа временных сигналов, распознавания образов и синтеза изображений, шифровки и дешифровки информации и многих других областях.**

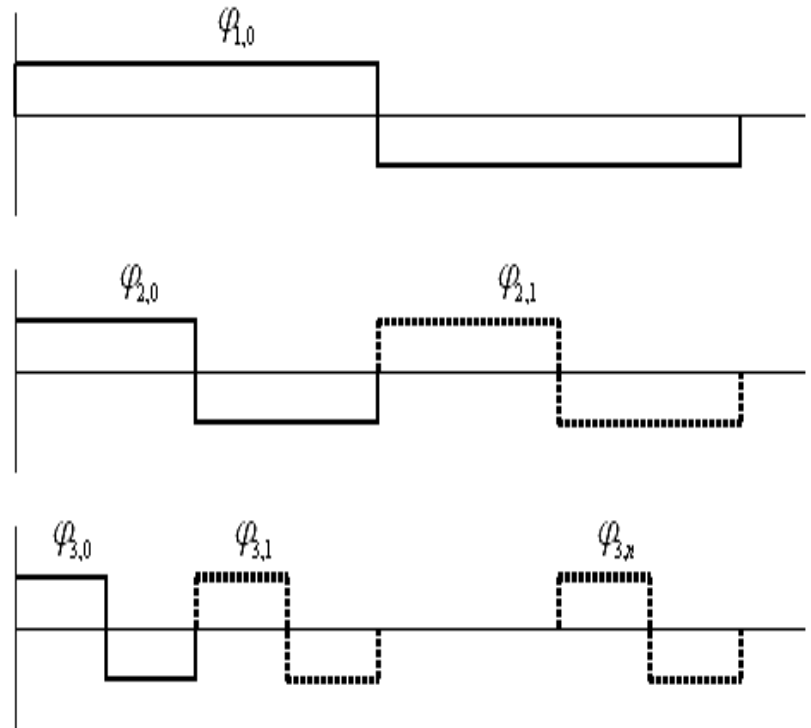
**Вейвлет – анализ используется в задачах, связанных с анализом пространственных полей со сложной многомасштабной структурой (турбулентное течение), либо временных сигналов с меняющимся со временем спектральным составом (сейсмические сигналы).**

**Основная идея: использование базиса, каждая функция которого характеризует как определенную пространственную (временную) частоту, так и место ее локализации в физическом пространстве (во времени).**

## а) Система Хаара (1909г.)

Совокупность функций Хаара образует полный ортонормированный базис.

Каждая функция строго локализована в физическом пространстве (во времени), но характеризуется медленно спадающим спектром частот (как  $1/v$ ).

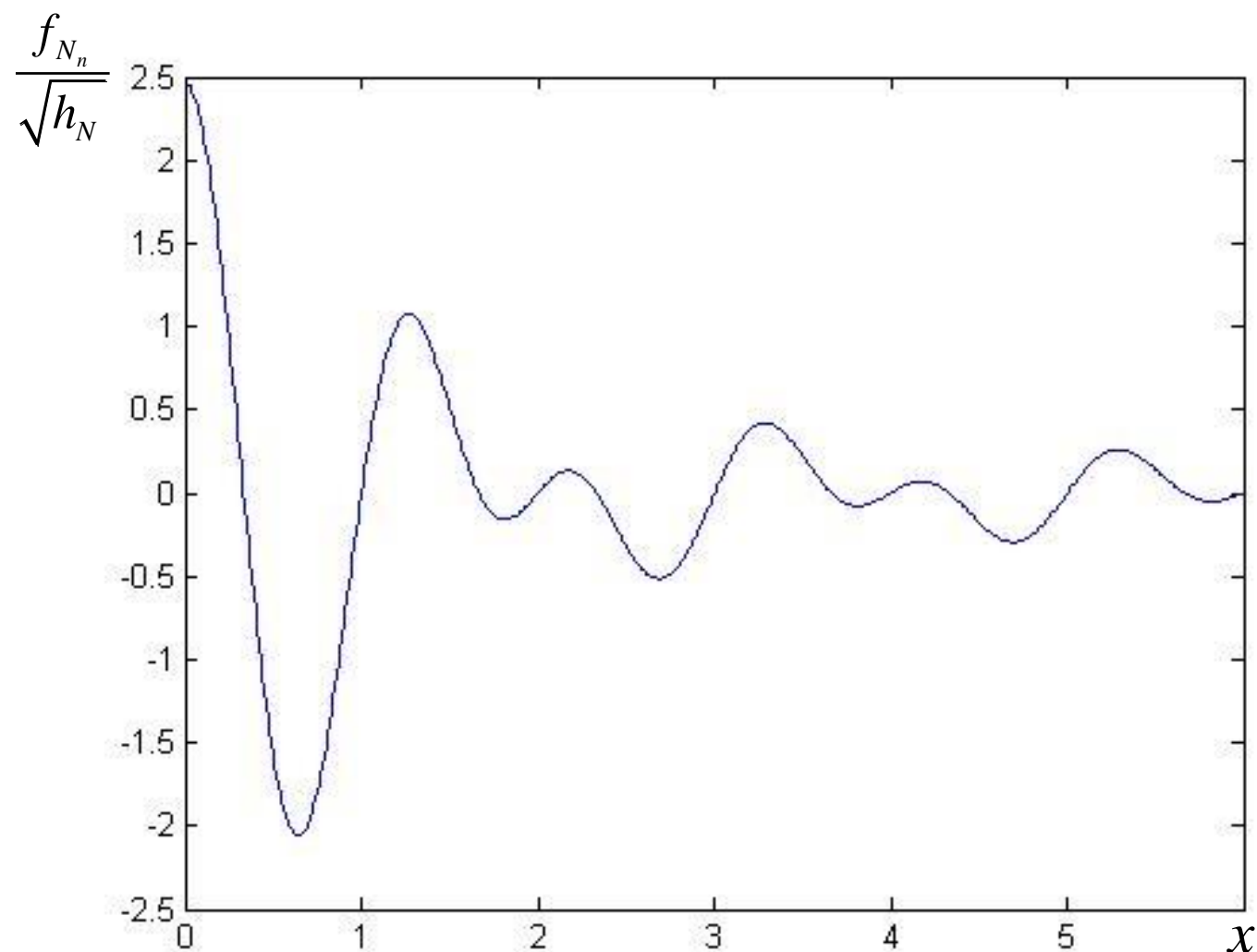


## **б) Функции Литлвуда – Пелли (1937г.)**

**Строятся путем вырезания полосы частот в пространстве Фурье.**

$$f_{N_n}(x) = \frac{1}{\sqrt{h_N}} \frac{\sin\left[\frac{\pi}{2h_N} (x - h_N n)\right]}{\frac{\pi}{2} (x - h_N n)} \cos\left[\frac{3\pi}{2h_N} (x - h_N n)\right]$$

**Каждая функция строго локализована в пространстве частот, но медленно затухает в физическом пространстве (во времени) функции описывают осцилляции, амплитуда которых падает как  $1/t$ .**



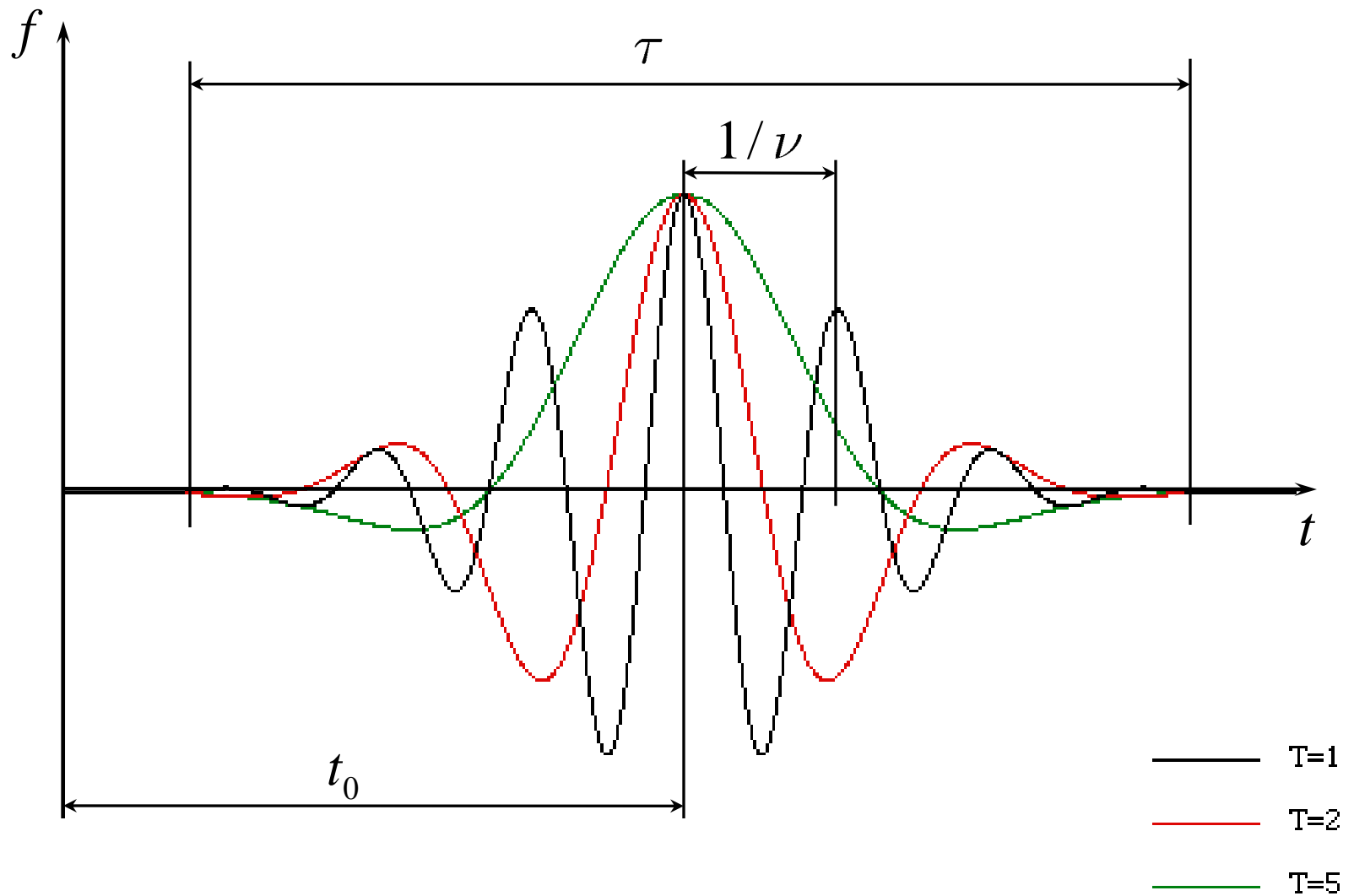
**Функция Литлвуда-Пелли для  $n=0$ .**

## **в) Пребразование Габора (Фурье – преобразование в окнах) (1946г.)**

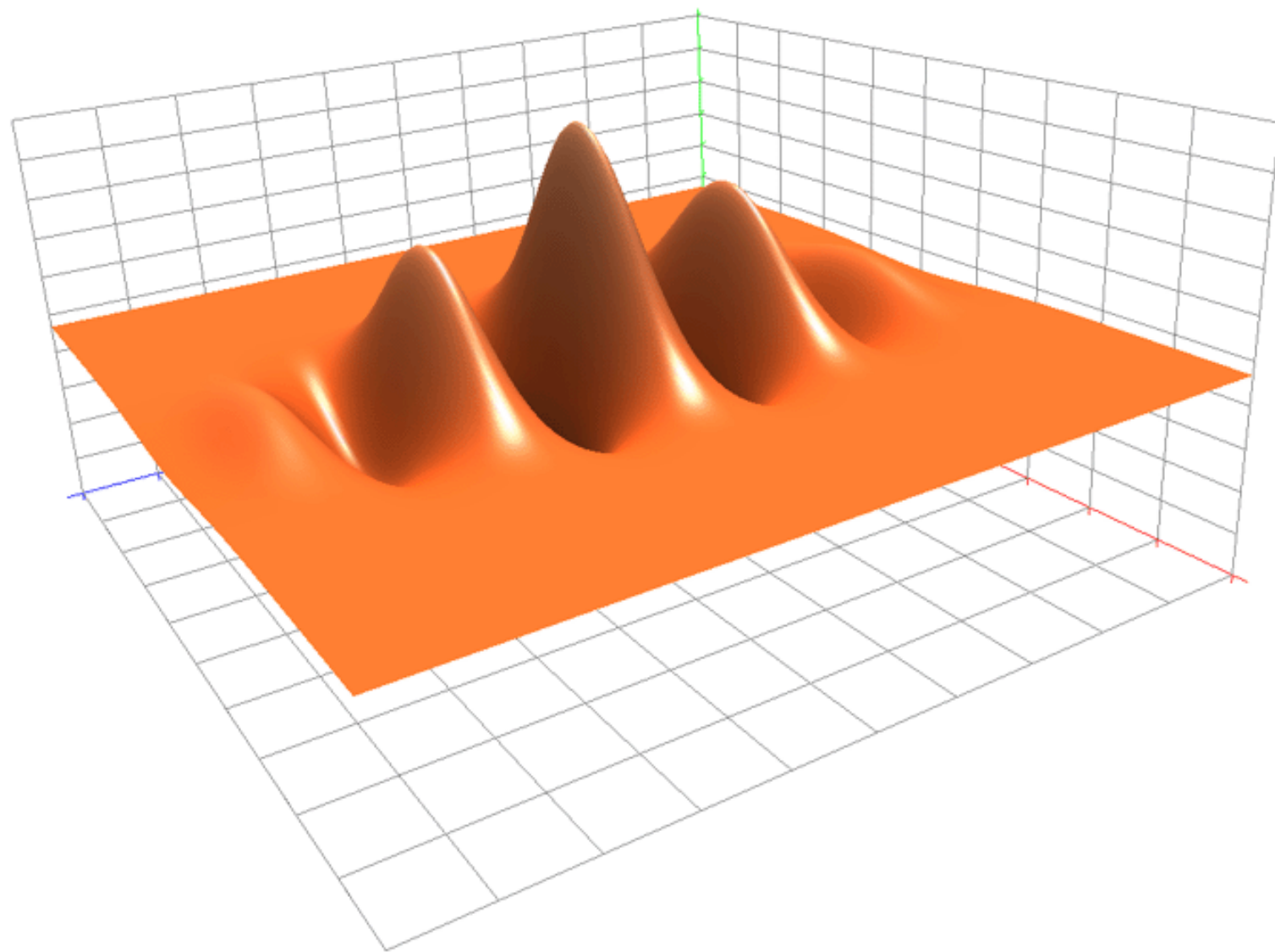
**Функция Габора:** гармонический сигнал, модулированный функцией Гаусса. Хорошо локализованы и в физическом пространстве (времени) и в пространстве частот. Характеризуются тремя параметрами: положением центра окна  $t_0$ , шириной окна  $\tau$  и частотой осцилляций  $v$ .

**Функции различного масштаба не являются подобными –  
имеют различное число осцилляций.**

# Одномерный случай



## Двумерный случай



## г) Вейвлеты

**Объединяют в себе два важных свойства подобия и выраженную локализацию в пространстве и времени.**

**Чтобы быть вейвлетами семейство функций должно удовлетворять следующим требованиям:**

**1) Допустимость.** Анализирующий вейвлет  $\psi(t)$ , называемый также материнским вейвлетом, должен иметь нулевое среднее значение:

$$\int_{-\infty}^{+\infty} \psi(t) dt = 0. \quad (1)$$

**2) Подобие.** Все функции семейства получаются из **анализирующего вейвлета** путем масштабного преобразования и

сдвига:

$$\psi_{a,b}(t) = \psi\left(\frac{t-b}{a}\right). \quad (2)$$

Получается двухпараметрическое семейство функций: параметр  $a$  – масштаб (растяжение) функции, параметр  $b$  – положение (сдвиг) функции.

**3) Обратимость.** Существование обратного преобразования, однозначно восстанавливающее исходную функцию по ее вейвлет – преобразованию.

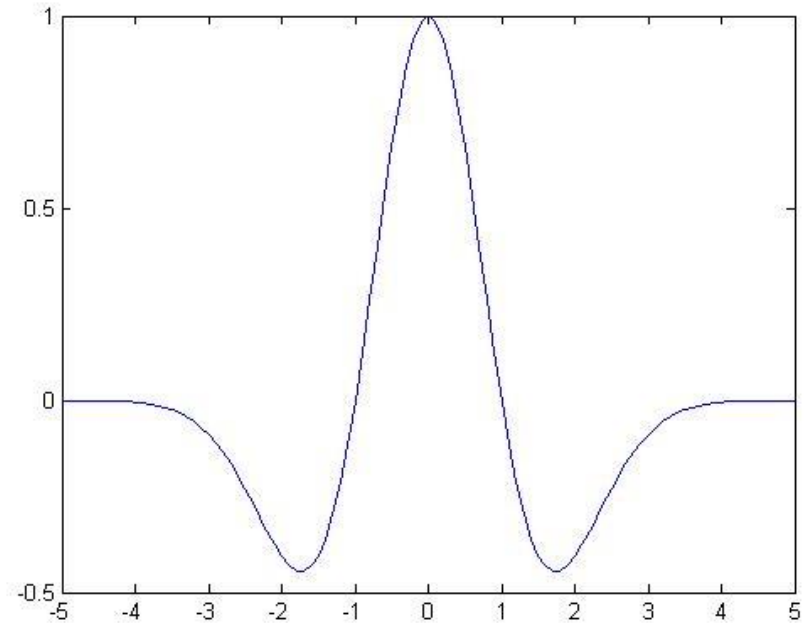
**4) Регулярность.** Функция  $\psi(t)$  должна быть хорошо локализована и в физическом пространстве и в пространстве Фурье.

**Выбор конкретного вида вейвлета зависит от целей проведенного анализа.**

**а) Вещественный вейвлет «мексиканская шляпа»:**

$$\psi(t) = (1 - t^2)e^{-\frac{t^2}{2}} \quad (3)$$

**задачи, требующие хорошего пространственного разрешения и не требовательные к спектральному разрешению.**



## б) Комплексный вейвлет Морле:

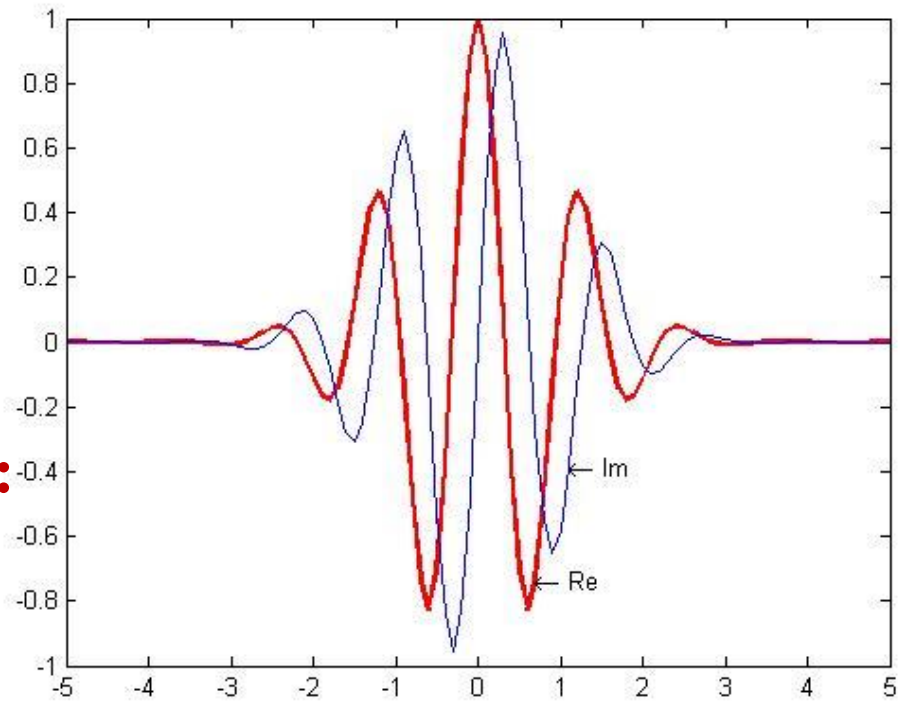
$$\psi(t) = e^{-\frac{t^2}{2}} e^{i\omega_0 t}, \quad (4)$$

задачи, требующие лучшего спектрального разрешения.

Отличие от функций Габора:

выбрав частоту для анализирующего вейвлета

(задав число осцилляций), сжимаем или растягиваем функцию как целое, не нарушая подобия отдельных функций семейства.



**Преимущество вейвлет – преобразования перед преобразованием Фурье состоит в том, что оно позволяет проследить за изменением спектральных свойств сигнала со временем и указать, какие частоты (масштабы) доминируют в сигнале.**

## 2. Непрерывное вейвлет – преобразование

**Непрерывное вейвлет – преобразование одномерной функции:**

$$W(a,b) = a^k \int_{-\infty}^{+\infty} f(t) \psi^* \left( \frac{t-b}{a} \right) dt, \quad (5)$$

где  $\psi(t)$  - вещественная или комплексная функция удовлетворяющая условиям 1) – 4).

**Если выполняется условие:**

$$C_\psi = \int_{-\infty}^{+\infty} \frac{\left| \hat{\psi}(\omega) \right|^2}{|\omega|} d\omega < \infty, \quad (6)$$

где  $\psi(\omega)$  - фурье – образ анализирующего вейвлета:

$$\hat{\psi}(\omega) = \int_{-\infty}^{+\infty} \psi(t) e^{-i\omega t} dt, \quad (7)$$

**то для преобразования (5) справедлива формула обращения**

$$f(t) = \frac{1}{C_\psi} \int_0^{+\infty} \int_{-\infty}^{+\infty} \psi\left(\frac{t-b}{a}\right) W(a,b) \frac{da db}{a^{3+k}}. \quad (8)$$

**Показатель степени масштабного множителя к выбирается в зависимости от целей анализа. При  $k=-1$  равные значения вейвлет - коэффициентов  $W(a,b)$  соответствуют равным амплитудам пульсаций сигнала, независимо от масштаба пульсаций.**

**На рисунках 1) и 2) показаны два примера вейвлет –  
разложения простых временных сигналов с помощью  
вейвлета Морле:**

**сигнал;**

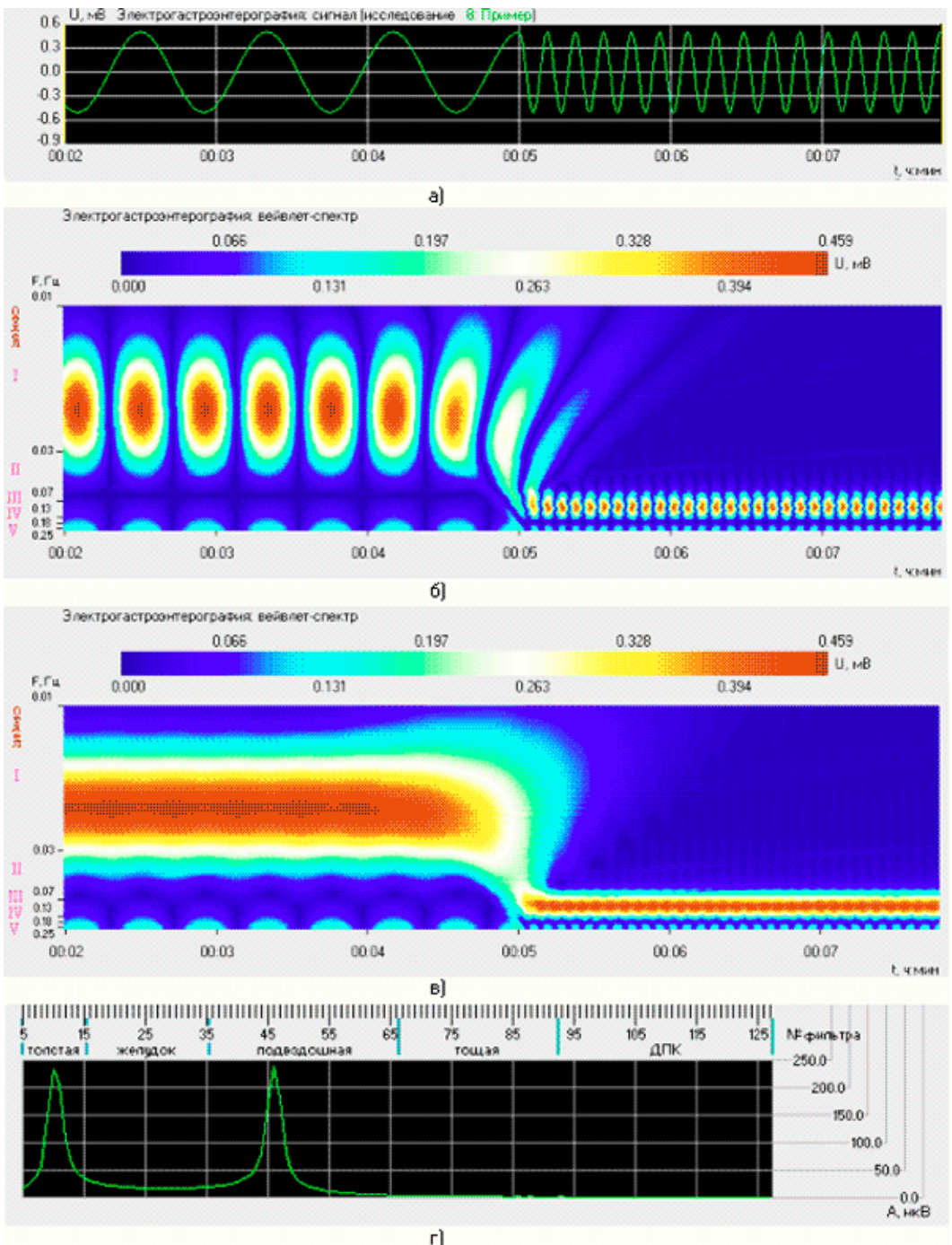
**вейвлет преобразование сигнала, полученное с помощью  
синфазной составляющей вейвлета Морле;**

**вейвлет преобразование сигнала, полученное с помощью  
комплексного вейвлета Морле;**

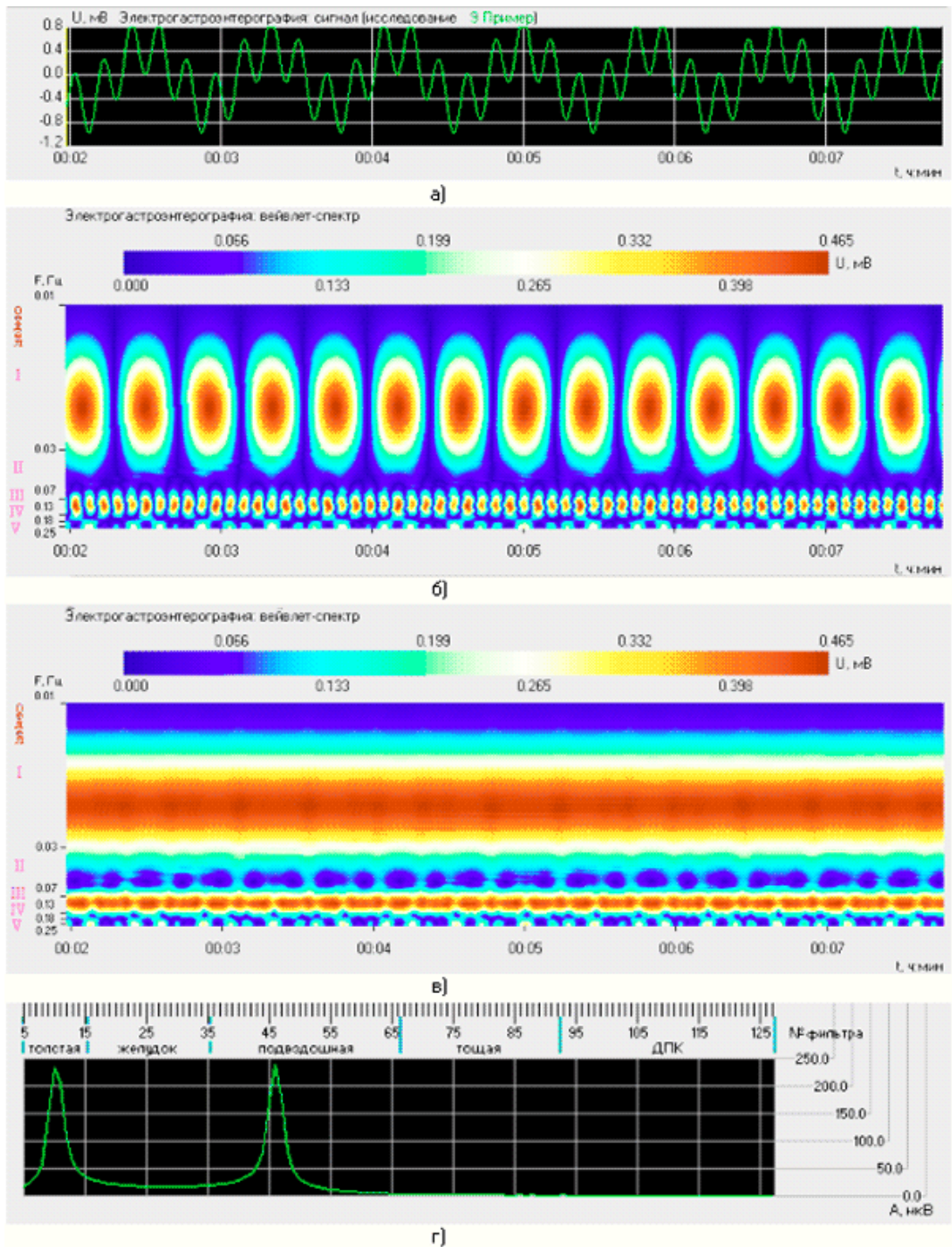
**спектр сигнала, полученный с помощью преобразования  
Фурье.**

**Фурье – преобразование сигналов 1) и 2) практически не  
отличаются друг от друга, а вейвлет – анализ позволяет  
восстановить полную эволюцию спектрального сигнала во  
времени.**

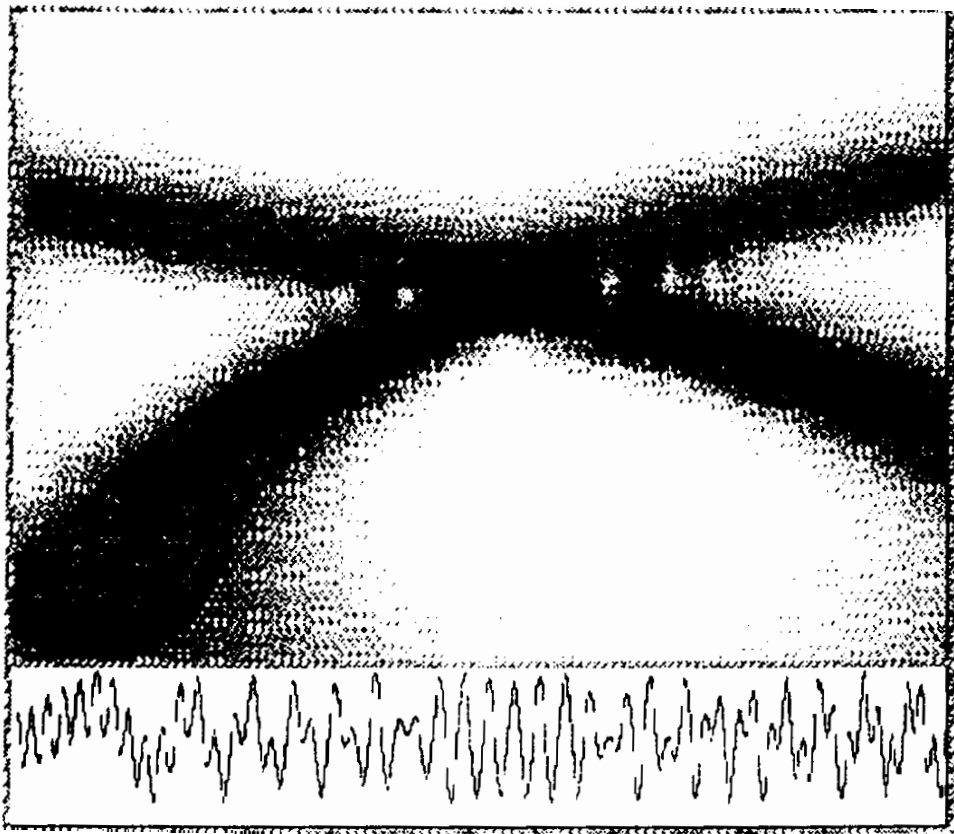
**1) сигнал, состоящий  
из двух гармонических  
составляющих с  
разными частотами,  
следующие друг за  
другом и его спектр.**



**2) сигнал, состоящий из суммы двух гармонических составляющих тех же частот, что и сигнал, представленный на рис. 1), и его аналогичные вейвлеты и спектр.**



На рисунке 3) показан результат вейвлет – разложения сигнала, представляющего собой суперпозицию двух гармонических составляющих с непрерывно меняющимися частотами (использовался вейвлет Морле). Вейвлет – представление позволяет получить точный вид эволюции частоты каждого из двух сигналов.



**Важное свойство вейвлет – представления функций:** на этапе разложения сигнала по вейвлетам и на этапе восстановления исходного сигнала по его вейвлет образу **можно использовать различные свойства вейвлетов.** Условие (6) заменяется на более мягкое условие (9):

$$C_{\phi\psi} = \int_{-\infty}^{+\infty} \frac{|\hat{\psi}(\omega)\hat{\phi}^*(\omega)|}{|\omega|} d\omega < \infty, \quad (9)$$

поскольку теперь один из двух вейвлетов может не удовлетворять (6), при условии, что второй вейвлет компенсирует его «недостатки». В этом случае вместо одного из вейвлетов можно использовать **сингулярную функцию** (например,  $\delta$  – функцию), **не являющуюся вейвлетом.**

### **3 . Вейвлет – анализ временных колебаний**

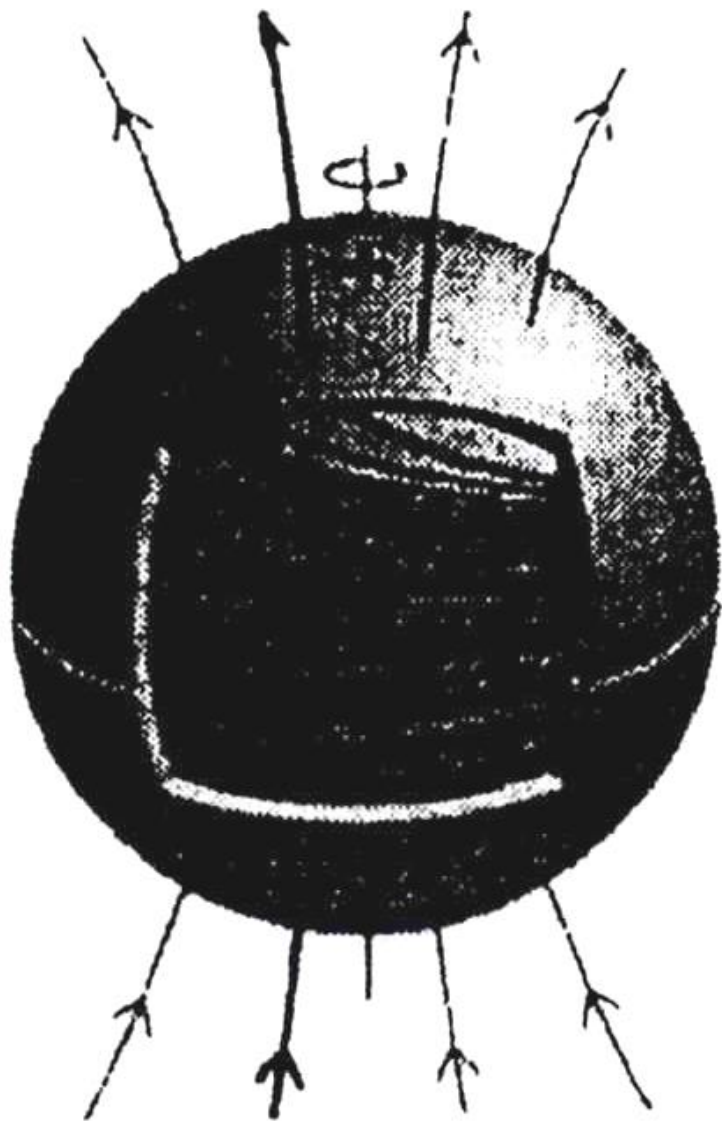
**Рассмотрим вейвлет – анализ солнечной активности.**

**Долговременная запись среднемесячных чисел солнечных пятен начинается с наблюдений Галилея **в феврале 1610 года,**  
**а с октября 1611 года наблюдения становятся довольно**  
**регулярными.** Существующий в настоящее время ряд  
данных не имеет в астрономии аналогов по регулярности и  
продолжительности наблюдений.**

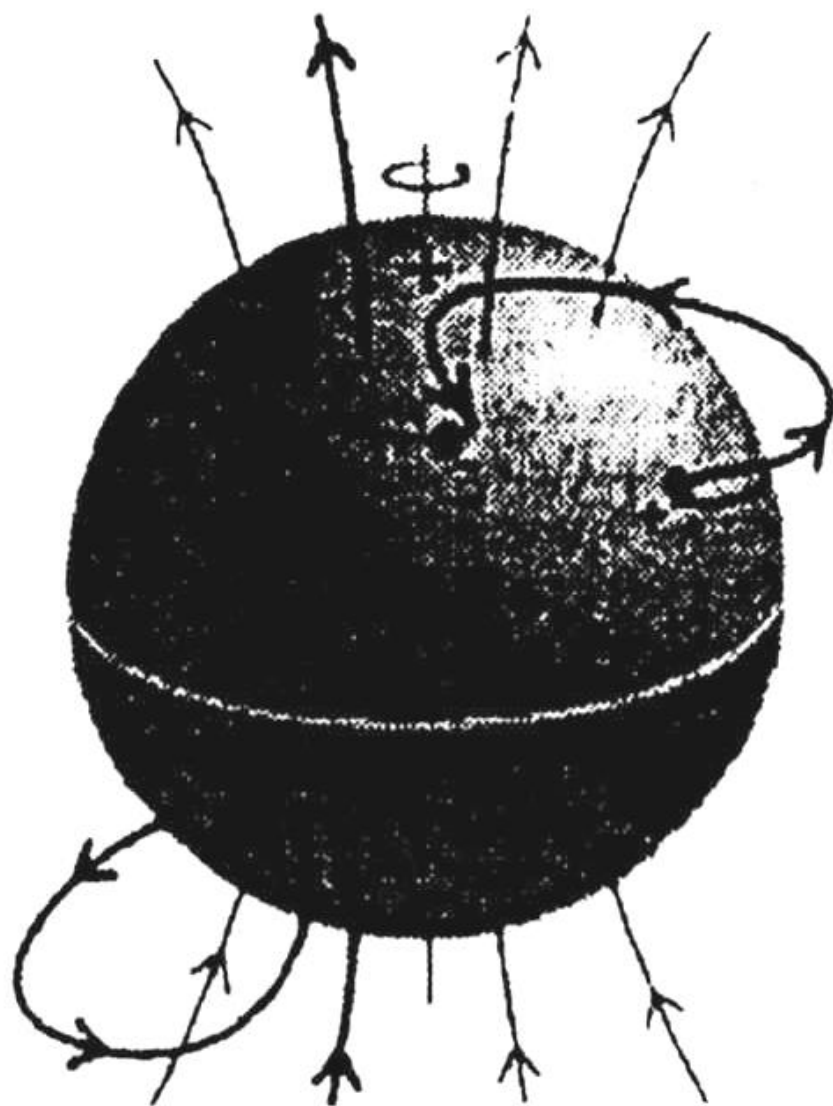
**Число пятен связано с интенсивностью магнитного поля**  
**Солнца, которое имеет полоидальную компоненту и более**  
**мощную азимутальную, образующие замкнутые кольца**  
**силовых линий внутри конвективной оболочки Солнца.**

Когда напряженность магнитного поля растет, на этих магнитных линиях возникают **гигантские петли**, выходящие за пределы конвективной оболочки. В местах выхода магнитное поле направлено вертикально и подавляет конвективное течение, приносящее горячую плазму из недр Солнца. В результате температура оказывается ниже, чем на остальной поверхности, и область видна как темное пятно. Чем сильнее магнитное поле, тем больше петель и тем больше пятен видно на поверхности.

Северный полюс



Северный полюс



Компоненты силовых линий магнитного поля Солнца

**График изменения числа пятен – это череда пиков, каждый из которых охватывает приблизительно 11 лет.**

**Одиннадцатилетний солнечный цикл характеризует работу солнечного динамо – магнитогидродинамического генератора поля.**

**Амплитуда циклов непрерывно меняется, а временами возникают сбои. Самый заметный сбой – минимум Маундера – имел место в конце 17 – начале 18 веков. Другое заметное ослабление солнечной активности было отмечено в начале 19 века – минимум Daltona.**

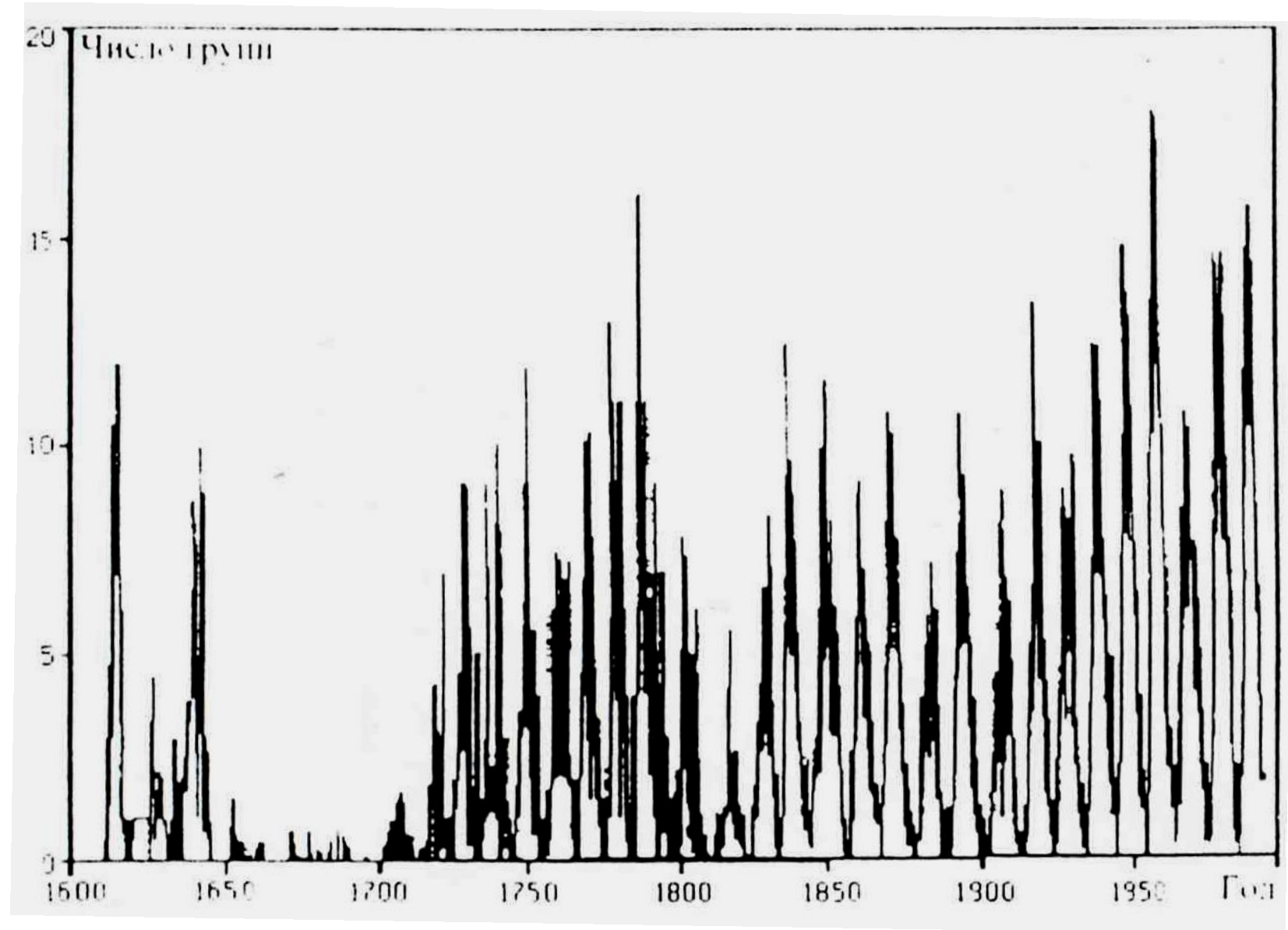
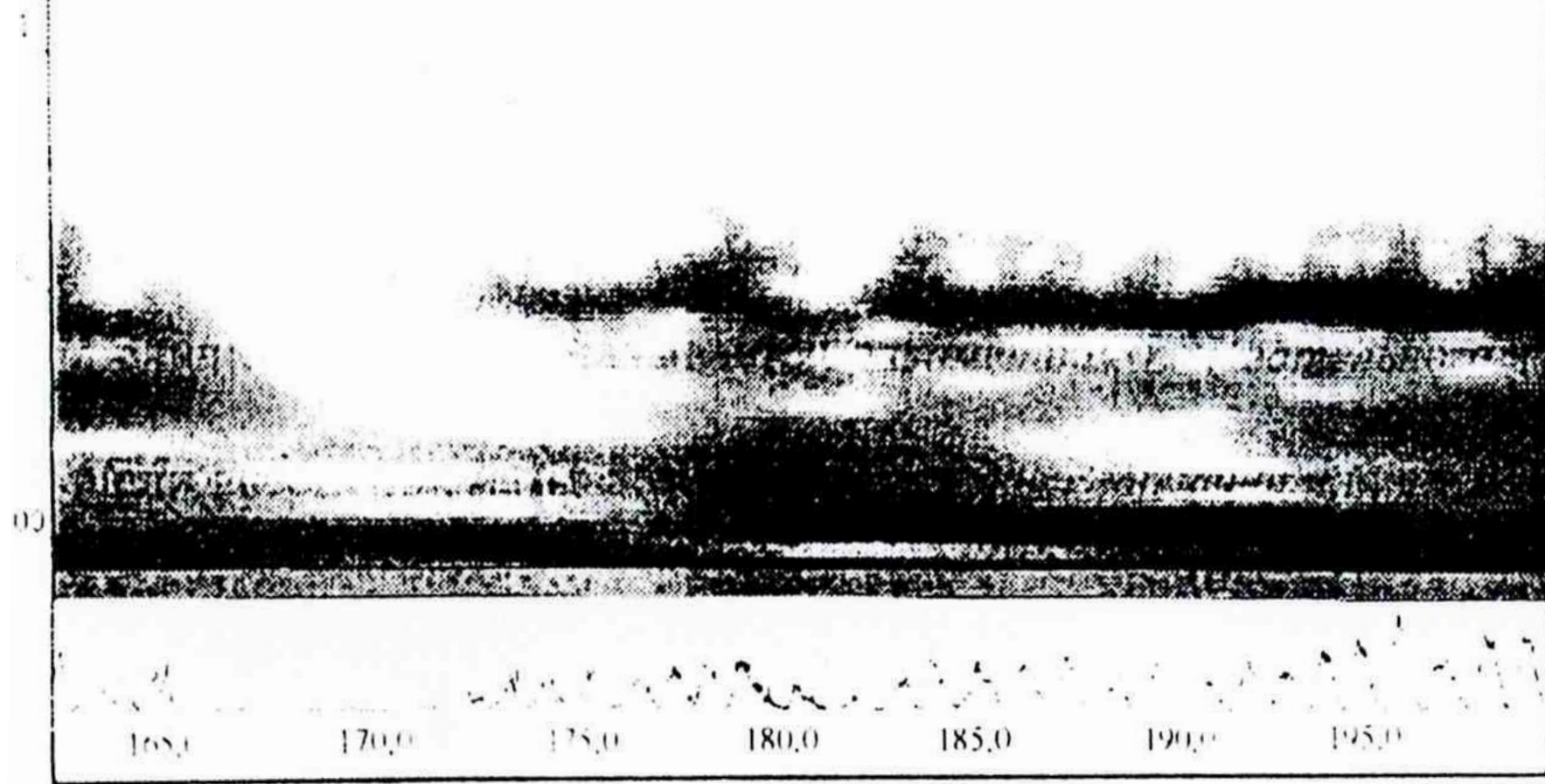


График изменения числа солнечных пятен во времени

**Вейвлет – представление проектирует одномерный сигнал (который был функцией только времени) на плоскость время – частота и позволяет увидеть изменение во времени спектральных свойств сигнала. На вейвлет – плоскости одиннадцатилетнему циклу соответствует темная горизонтальная полоса (идеально ровная горизонтальная полоса соответствовала бы чисто гармоническому колебанию). Кроме основного цикла, длительностью около одиннадцати лет, отмечен еще один – приблизительно со столетней периодичностью.**

Период



**Модуль вейвлет - преобразования Морле данных графика  
изменения числа солнечных пятен**

При изучении графика ранее, без использования вейвлет – метода, предполагалось наличие большого количества циклов с другой периодичностью. Все они оказались артефактами, то есть необоснованными показаниями методов, не очень хорошо приспособленных к рассматриваемой задаче. Вейвлет – анализ позволяет проследить, как меняется длительность номинального одиннадцатилетнего цикла со временем, показывая, что столетний цикл фиксирует периодические попытки механизма генерации солнечного магнитного поля дать сбой и свернуть с обычных одиннадцатилетних колебаний в новый эпизод типа минимума Маундера.

**В Парижской обсерватории с 1683 года по 1718 год непрерывно регистрировались вариации видимого солнечного диаметра. Эти измерения были возобновлены в 1978 году.**

**В результате вейвлет – анализа данных был получен неожиданный результат, состоящий в том, что одиннадцатилетние вариации солнечного диаметра имели наибольшую амплитуду как раз во время глубокого минимума солнечной активности. По мере выхода из минимума вариации числа пятен начинают нарастать, а вариации диаметра спадать**